



К. В. Скульський, І. В. Луценко

РОБОТА ПРИЦІЛЬНОЇ
РАДІОЛОКАЦІЙНОЇ СТАНЦІЇ
В РІЗНИХ РЕЖИМАХ

1998

621.396

МІНІСТЕРСТВО ОСВІТИ УКРАЇНИ
Державний аерокосмічний університет ім. М.Є. Жуковського
"Харківський авіаційний інститут"

С 46

К.В. Скульський, І.В. Луценко

РОБОТА ПРИЦІЛЬНОЇ РАДІОЛОКАЦІЙНОЇ СТАНЦІЇ
В РІЗНИХ РЕЖИМАХ

Навчальний посібник

Научно-техническая
библиотека
"ХАІ"



mt0224034

**НАУКОВО-ТЕХНІЧНА
БІБЛІОТЕКА**

Національного аерокосмічного
університету ім. М.Є. Жуковського
Харківський авіаційний інститут

Харків "ХАІ" 1998

621.396.967(045.8)

УДК 629.735.33.0523

Робота прицільної радіолокаційної станції в різних режимах
/ К.В. Скульський, І.В. Луценко. - Навч. посібник. - Харків:
Держ. аерокосмічний ун-т "Харк. авіац. ін-т", 1998. - 36 с.

Викладено принцип побудови блока синхронізатора прицільної
радіолокаційної станції, робота каналу керування антеном та су-
провідження цілі за кутовими координатами, робота далекомірного
каналу, системи селекції рухомих цілей та каналу індикації
прицільної радіолокаційної станції.

Для студентів, що проходять військову підготовку за пробі-
лем ВОС. Може також бути корисним для технічного складу авіа-
ційних частин.

Іл. 12. Бібліогр.: 2 назви

Р е ц е н з е н т и : д-р техн. наук А.Ф. Величко,
канд. техн. наук, доц. А.С. Василенко

(C) Державний аерокосмічний університет ім. М.С. Кукоського
"Харківський авіаційний інститут", 1998

I. ПРИНЦІП ПОБУДОВИ БЛОКА СИНХРОНІЗАТОРА ПРИЦІЛЬНОЇ РАДІОЛОКАЦІЙНОЇ СТАНЦІЇ

I.I. Призначення та склад блока синхронізатора

Синхронізатор забезпечує:

- синхронізацію імпульсних каналів;
- інтегрування сигналів цілів;
- вобуляцію імпульсів запуску передавача та девобуляцію прийнятих сигналів;
- захист від несинхронних і синхронних імпульсних переходів, що надходять у другому та третьому періодах;
- комутацію частот повторення.

До складу синхронізатора входять:

- кварцовий генератор (КГ);
- трирозрядний лічильник;
- схема формування строб-імпульсів (восьмирозрядний лічильник і дітифіратор);
- вобулятор;
- девобулятор;
- селектор імпульсів з періоду слідування (показати на плакаті "Структурну схему блока ОЗ").

I.2. Принцип формування імпульсів блока синхронізатора

Функціональну схему блока синхронізатора зображенено на рис. I.1. КГ формує гармонічну напругу з частотою 1 МГц. Імпульси позитивної полярності зі схеми вихідних імпульсів надходять на запуск генератора 30 МГц (блок О2) та на запуск синхронізатора. Для одержання імпульсів необхідної частоти повторення використовується метод розділення частоти за допомогою три- або восьмирозрядних лічильників.

У режимі великих і середніх висот (ВСВ) переключення шин лічильників здійснюється перемикачем "Дітер" (касіна літака).

У режимі малих висот (МВ) з блока II імпульси синхронізатора формуються шляхом тимчасового порівняння на схемі збурів строб-імпульсів (на виході восьмирозрядного лічильника) з послідовністю імпульсів трирозрядного лічильника.

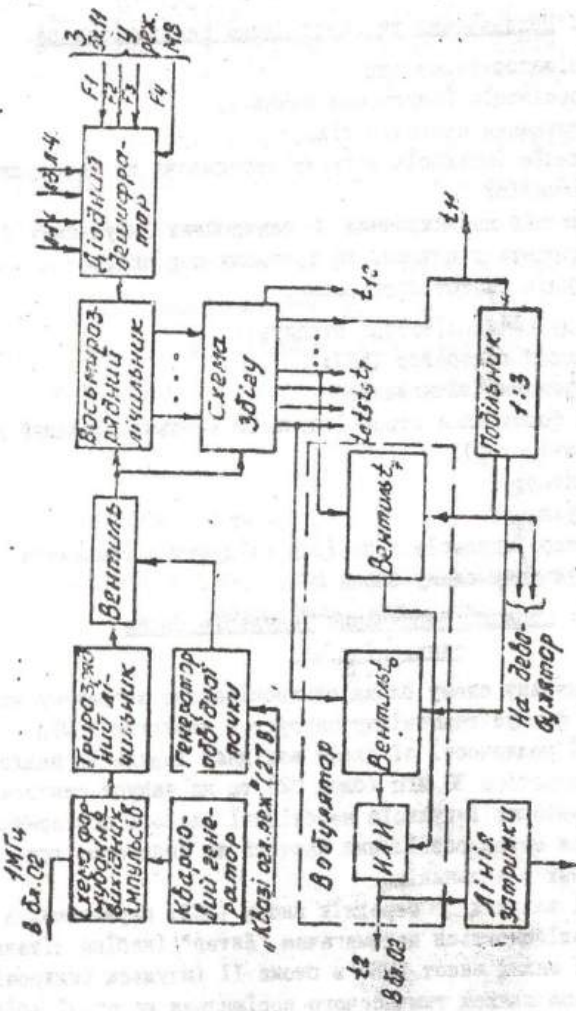


Рис. I.1

Тимчасове розставлення імпульсів показано на рис. I.2. Всі відрахунки здійснюються від імпульсу нульовоїдалекості.

Імпульси t_2 запуску передавача формуються у вобуляторі з імпульсів нульової залежності t_0 та імпульсів t_7 , що випереджають t_0 на 10 мкс. Як схема керування використовується подільник I:3.

Керуюча напруга на вентилі надходить у протифазі, тому проходить чимало t_0 або t_7 (два t_0 , один t_7). Отже, період слідування імпульсів t_2 такий: T_0 , $T_0 - 10$, $T_0 + 10$, T_0 і т. п. У режимах МВ при селекції цілей ВСВ-СЦ подільник I:3 вимикається. При цьому вентиль t_0 буде відкритим або t_7 - закритим.

I.3. Захист ліній синхронних і несинхронних імпульсних підсистем

Відображені від цілі сигнал і перешкода з виходу приймача (рис. I.3) надходять у девобулятор, де відновлюється період слідування імпульсів T_0 . Таким чином, синхронні перегходи, що надходять у другій та третій періоди, перетворюються у несинхронні. З виходу девобулятора імпульси цілі та несинхронні перешкоди надходять на селектор імпульсів з періоду слідування. Вони надходять через суматор на регулюючий підсилювач, коефіцієнт підсилення якого пропорційний амплітуді імпульсів цілі з виходу лінії затримки, що регулюється (для накопичення імпульсів цілі без втрат).

Ультразвукова лінія затримки (УЗЛЗ) складається з двох послідовно з'єднаних ліній затримки (кварцової та магнісової з різкими за знаком затримками).

Накопичення енергії сигналу здійснюється таким чином.

Сигнали цілі та перешкода з виходу регулювання лінії затримки надходять на схему збігу (СЗ) або суматор. Якщо період слідування імпульсів дорівнює T_0 , то на СЗ кожним попереднім імпульсом збігається з наступним імпульсом з виходу девобулятора та проходить на вихід блока ОЗ (імпульс цілі, що інтегрується). Аналогічний збіг буде в суматорі, внаслідок чого из вхід СЗ надходитиме вже сумарний сигнал.

- t_0 імпульс нуля ДАЛЕКОСТІ
 t_1 імпульс запуску розгортки індикатора і маніпулятора приймача
 t_2 імпульс запуску передавача
 t_3 імпульс запуску генератора лінійної затримки малого далекоміра (ГЛЗ)
 t_6 імпульс запуску ГЛЗ пам'яті
 t_7 імпульс запуску ГЛЗ великого далекоміра
 t_9 імпульс витирання ГЛЗ
 t_{11} -1 ПОЗИТИВНИЙ імпульс АРПШ
 t_{11} -2 НЕГАТИВНИЙ імпульс АРПШ
 t_{12} імпульс стробіювання ІІ індикації перешкод
 t_{13} імпульс стробіювання І індикації перешкод
 t_{16} імпульс фіксації розгортки індикатора
 t_{17} імпульс зрыву маніпулятора приймача
 t_{20} імпульс запуску вбудованого контролю
 t_{21} опорний імпульс 35
 t_{22} —“— 105
 t_{23} —“— 140
 t_{19} —“— 330
 t_4 імпульси АРЗВ
 t_{18} імпульси зон СЦ

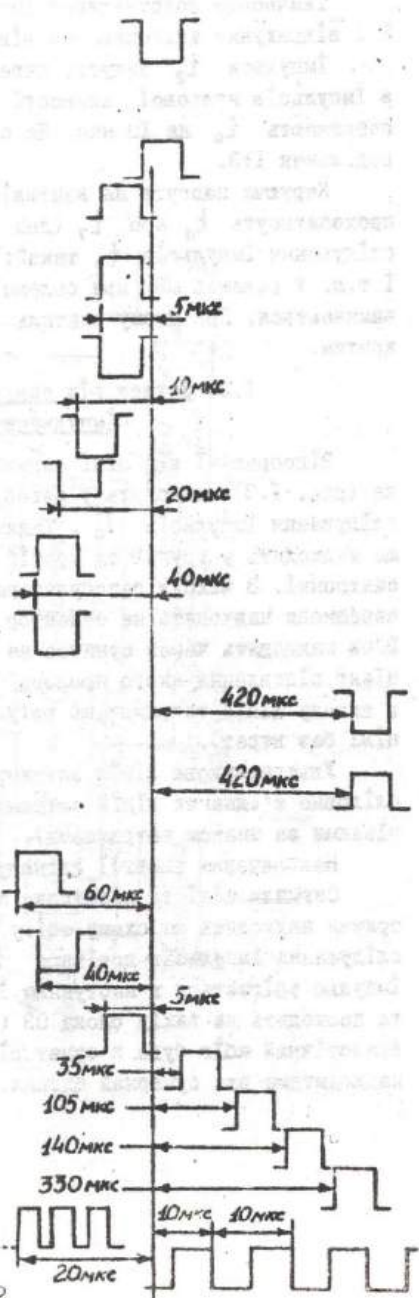


Рис. I.2

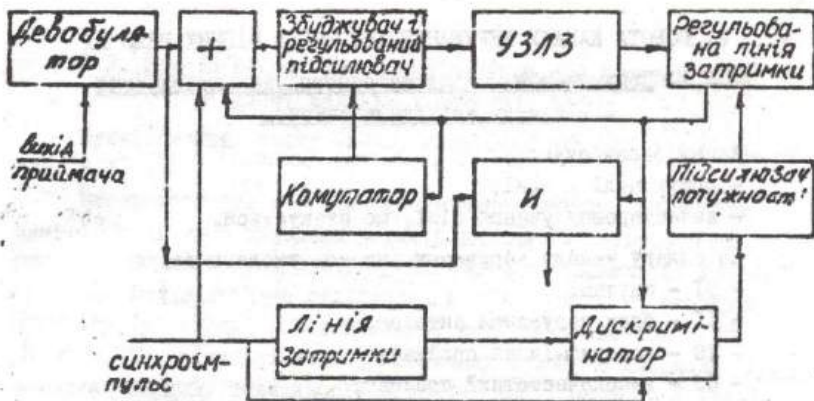


Рис. I.3

Для точного настроювання селектора на літерну частоту слухати:

- ліній затримки ($T_3 = T_4$);
- дискримінатор;
- підсилювач потужності;
- мотор відпрацювання;
- регульована лінія затримки.

Синхроімпульси надходять до дискримінатора безпосередньо через ліній затримки, де утворюються слідуючі строби. Якщо $T = T_0$, то га виході дискримінатора керуюча напруга дорівнює нулю. В іншому випадку керуюча напруга приводить у дії мотор відпрацювання, що змінює регулювання ліній затримки.

Суміщення функцій накопичення енергії та селекції за періодом слідування забезпечує якісне складання імпульсів цілі навіть при полавленні окремих імпульсів цілі перешкодами.

Девобулятор служить для захисту від синхронних імпульсів перешкод, що надходять у другому та третьому періодах.

СЗ та УЗЛС використовують для захисту від несинхронних імпульсів перешкод.

2. РОБОТА КАНАЛУ КЕРУВАННЯ АНТЕНОЮ В РІЗНИХ РЕЖИМАХ

2.1. Призначення, склад та основні характеристики каналу керування антеною

Канал забезпечує:

- пошук цілі у зоні;
- автосупроводження цілі, що атакується.

До складу каналу керування антеною входять блоки:

- ОІ - антена;
- ІІ - блок керування антеною;
- І9 - логарифмічний приймач;
- 09 - високочастотний приймач;
- 29 - лінійний приймач;
- 21 - блок кутового супроводження;
- 31 - блок указания цілі радіолокаційним головкам само-
наведення (РСС).

Технічні характеристики:

- ширина діаграми направленої антени - $2,6^{\circ}$;
- ширина діаграми направленості каналу безпегарного під-
свічування - $1,7^{\circ}$;
- зона огляду: за азимутом в усіх режимах - $\pm 30^{\circ}$; за нахи-
лом у режимі ВСЗ - $10,4^{\circ}$; у режимах СМВ, МВ - $8,5^{\circ}$;
- сектор переміщування зони огляду:
 за азимутом - $\pm 20^{\circ}$;
 за нахилом - $\pm 25^{\circ}$;
- зона огляду додаткових пошуків:
 за азимутом - 16° ;
 за нахилом - 4° ;
- стабілізація зони огляду:
 за креном - $\pm 70^{\circ}$;
 за тангажем - $\pm 35^{\circ}$;
- зона автосупроводження цілі за кутовими координатами:
 за азимутом - $\pm 52^{\circ}$;
 за нахилом - $\pm 25^{\circ}$.

2.2. Робота каналу керування антенами при пошуках цілі в режимі великих і супедих висот

Функціональну схему каналу керування антенами зображенено на рис. 2.1.

Високочастотна енергія передавача з виходу подільника енергії з чотирма виводами через широколопатевий дводзеркальної антенної системи. Горизонтально поляризована хвилля падає на непорушене дзеркало (у вигляді горизонтальної решітки з висотою ребра $h < 0.25$), відображається у напрямку рухомого дзеркала, яке повертає площину поляризації відбитої хвилі на 90° , і хвилі безперешкодно проходять крізь решітку непорушеного дзеркала. Ширина променя визначається розмірами рухомого дзеркала. Переміщення променя по заданій траекторії здійснюється схемами керування антенами за азимутом і ніжилом у блокі II.

2.2.1. Формування керуючої напруги за азимутом під час пошуку цілі у режимі великих і малих висот

Схема керуючої напруги за азимутом складається з фазового детектора I, суматора 2, приструю обмеження, двох керуючих ключів. Керуюча напруга за азимутом зміщується з фазового детектора I. При $U_{\text{ФД}} > 0$ напруга фази 0° через ключ Р - П - Р надходить на суматор 2, куди таож подається напруга з обертового трансформатора азимута. Фаза напруги за виході суматора 2 визначається напрямком переміщення променя за рядком. Напруга з виходу суматора 2 підвищується, обмежується та надходить на фазовий детектор I, на другий вхід якого подається опорна напруга 115 В частотою 400 Гц з фазою 0° , і амплітудою, пропорційною відхиленню променя від по заданою осі літака.

Напруга фазового детектора I через суматор 4 надходить до модулятора, перетворюється в ньому на змінну напругу з частотою 400 Гц, посилюється у підвищувачі потужності, а в демодуляторі перетворюється на постійну напругу тієї ж полярності, що була на виході фазового детектора I. Для полегшення роботи поршкових муфт ця напруга перетворюється в широтно-імпульсному модуляторі (ШІМ) на постійної амплітуді, що змінюється з виходу "ПР". Тривалість імпульсів пропорційна керуючій

чій напрузі (напрузі фазового детектора I) з частотою слідування 400 Гц. Ця напруга відхиляє антенну зліва направо.

При переході через нуль фаза напруги з обертового трансформатора (ОТ) змінюється на 180° і починає компенсувати напругу, що надходить з ключа Р - П - Р. Якщо вони однакові, то напруга фазового детектора I дорівнює нулю.

Антена за Інерцією пересувається праворуч. Напруга ВТ збільшується, що приведе до зміни фази напруги на вході фазового детектора I, а тому й до зміни полярності напруги на його виході. У цьому випадку напруга фазового детектора I менша від нуля. На суматор 2 надходить напруга фази 180° через ключ Р - П - Р, а антена пересуватиметься справа наліво. Для переміщення сектора огляду за азимутом на суматор 2 надходить напруга зміщення від ручки "Зона Р - стр. Т" або від АРЛ-СМ, що збільшує або зменшує напругу на суматорі 2 залежно від того, збігається фаза напруги зміщення з фазою напруги з ВТ чи ні.

2.2.2. Формування керуючої напруги за нахилом під час пошуків цілі в режимі великих і середніх висот

Схема керуючої напруги за нахилом складається з тригера Шmittта, диференціюючого ланцюжка, тригерів 3, 4, 5, вентилів B_5 - B_9 , суматорів I, 3, підсилювача та фазового детектора 2. Напруга фазового детектора I надходить до тригера Шmittта. При $U_{\text{ФД}} > 0$ $U_{\text{тш}} = 5$ В, при $U_{\text{ФД}} < 0$ $U_{\text{тш}} = 0$ В. Останній фіксує моменти реверсу променя у площині азимута. Ці перепади напруги за допомогою диференціюючого ланцюжка формують негативні імпульси, що через вентилі B_8 , B_9 здійснюють почерговий запуск тригера 3.

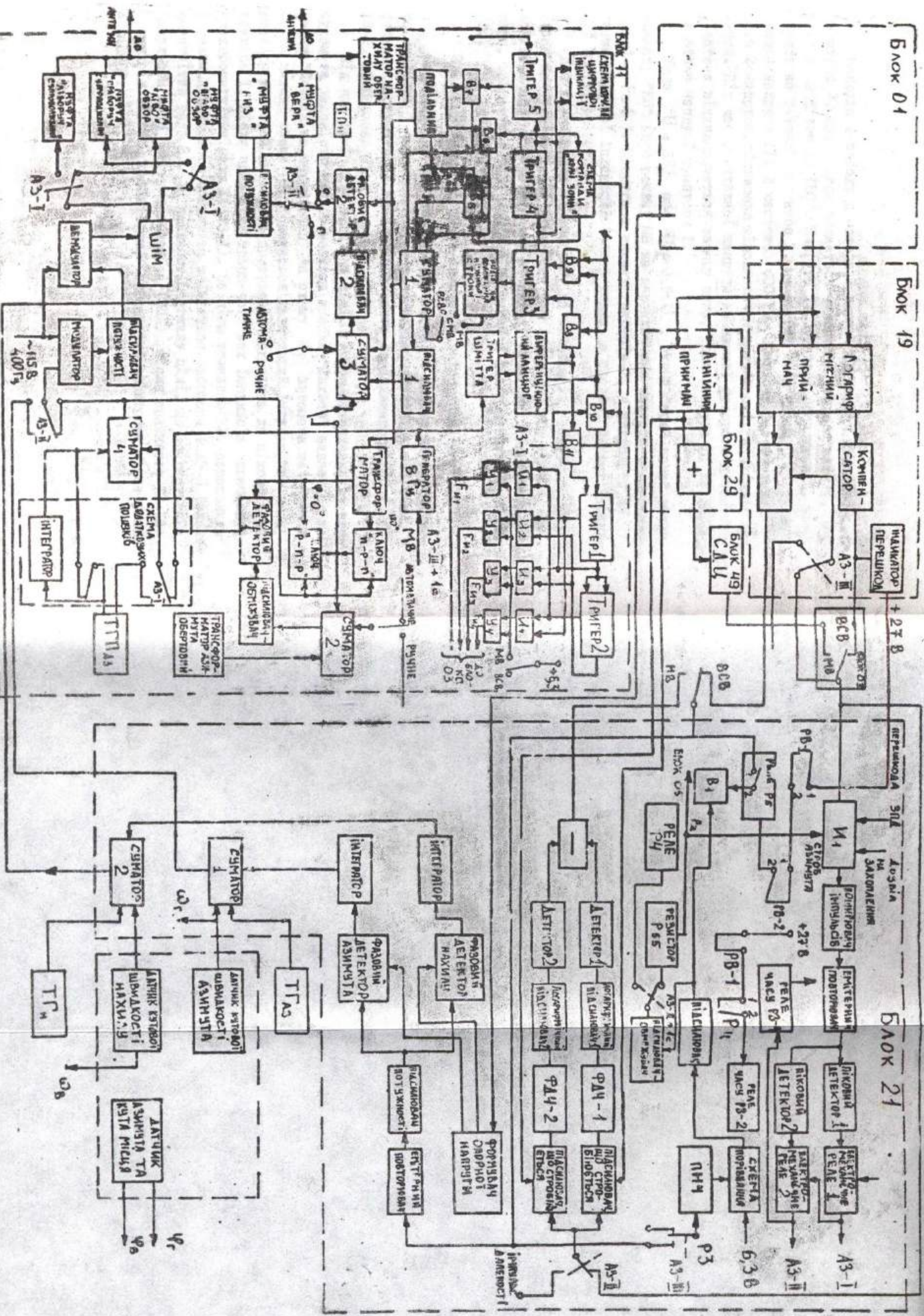
Запуск тригерів 4, 5 здійснюється негативними перепадами напруг тригерів 3 та 4, відповідно. Перепади напруг тригерів 3, 4, 5 використовуються як керуючі для вентилів B_5 , B_6 , B_7 , відповідно.

При позитивній напрузі на вентилі B_1 пропускає змінну напругу 400 Гц з виходу подільника. Співвідношення амплітуд напруг на виходах вентилів такі: $B_5 - U$, $B_6 - 2U$, $B_7 - 0.5U$. Застосування трьох тригерів дозволяє сдержкати всім керуючих напруг за нахилом. Напруга $3.5U$ відповідає відхиленню антени гору на 0,5 рядка вище, $3U$ - на 0,5 рядка нижче.

БЛОК 01

БЛОК 19

БЛОК 21



Напруга з виходу суматора I через підсилювач надходить до суматора 3, куди також подається напруга з тригера нахилу, зсунутого за фазою на 180° . Напруга із суматора, посилюючись, надходить на фазовий детектор 2, на другий вхід якого подається опорна напруга 115 В частотою 400 Гц. З виходу фазового детектора 2 напруга, підвищена підсилювачем потужності, надходить на муфти. Під час позитивної напруги на виході фазового детектора 2 антена відхиляється зверху вниз, доки напруга ВТ не дорівнюватиме напрузі суматора I.

Якщо $U = 3U$ або $U = 3.5U$, схема "край зони" видає команду "КЗ" (для режиму МВ на переключення частоти слідування F_{U1}, F_{U4}). Напруга з виходу тригерів 3, 4 надходить до схеми цифрової індикації (номер рядка на системі єдиної індикації (СЕІ)).

Для переміщення зони сліду за нахилом на суматор 3 подається напруга зміщення від ручки ΔH (блок 24) або АРЛ-СМ, що збільшує або зменшує напругу на виході суматора 3 залежно від того, збігається фаза напруги зміщення з фазою напруги з ОТ чи ні.

2.2.3. Принцип побудови автоматів захоплення блоку 2I

Посиленій та продетектований сигнал з виходу логарифмічного приймача I через компенсатор сигналів, прийнятих з бічних пелюстків, суматор і блок 03 надходить до індикатора РЛС і АЗ-І, АЗ-П блока 2I.

Під час зуміщення відмітки цілі із зоною захоплення за азимутом та далекістю шляхом натиску кнопки "Захват" видається команда "Дозвіл на захоплення" на схему І, автомата захоплення I. На виході схеми І, формується негативний імпульс, що поширяється та через емітерний повторювач надходить до пікового детектора I. Після прийняття трьох-чотирьох імпульсів спрацьовує електромагнітне реле I (АЗ-І). За цією командою РЛС переходить у режим додаткового пошуку та з'являється заборона з АЗ-П (електромагнітне реле 2). За наявності сигналу цілі, що збігається з імпульсом зони пошуку далекоміра (ЗПД), після прийняття 12-16 імпульсів піковим детектором 2 спрацьовує електромагнітне реле 2 (АЗ-П).

2.3. Робота каналу керування антеною при супроводженні цілі в режимі великих і середніх висот

Сигнали з виходів логарифмічних приймачів I і 2 після компенсації сигналів за бічними пелостками надходять на схему від окремлення різницевих сигналів (обчислювальне властування), що стробіються імпульсами цілі до команди АЗ-Ш та імпульсами даткості після спрацювання АЗ-Ш.

Різницеві сигнали азимута та нахилу з виходу блока I9 через контакти реле ВСВ-МВ, еміттерний повторювач і підсилювач потужності надходять на фазовий детектор азимута та нахилу блока 21, на інші виходи яких подається опорні напруги з генератора опорної напруги (ГОН).

Виділений сигнал помилки азимута (нахилу) інтегрується та надходить на суматор I (2), на який подається напруга негативного зворотного зв'язку з гахогенератора азимута (TG_{az}) (такогенератора нахилу (TG_n)) та датчика кутової швидкості за азимутом і нахилом. В результаті сигнал азимута (нахилу) з виходу суматора I (2) надходить на вхід підсилювача потужності блока II. Величина цього сигналу та його полярність визначаються величиною та знаком кута між рівносигнальним напрямком променя та лінією візуування цілі в горизонтальній та вертикальній площині.

Під дією керуючої напруги антена переміщується в напрямку на ціль. Під час напрямку на ціль з рівносигнальним напрямком променя сигнал помилки на виході фазового детектора схеми виділення сигналу помилки дорівнюватиме нулю, і переміщення променя антени припиняється.

Сигнали, пропорційні азимуту та нахилу цілі, з координатора подвоєння надходять до аналогово-обчислювальної машини (ЛОМ) і через блок обробки РЛ інформації - на екран СЕІ (ціль), а також на координатор цілевказання ракет. Сигнали, пропорційні кутовим положенням променя антени та променя головки самонаведення, надходять до блока З-І, на виході якого утворюються сигнали непогодження у вертикальній та горизонтальній площині, які через радіоблок зв'язку надходять до системи відпрацювання головки ракети, суміщуючи рівносигнальний напрямок променя головки самонаведення з напрямком на ціль.

2.4. Робота каналу керування антенами при пошуках цілі в режимі малих висот

Керування за азимутом і нахилом виконується так само, як і в режимі ВСВ. У блоці II вимикається схема формування керуючих напруг на переключення частот слідування імпульсів (2 тригери, 4 схеми "И" та 4 ключові схеми "У"). Імпульси негативної полярності з виходу диференціального ланцюжка відповідно до часу стану променя антени на кордонах зони огляду за азимутом за допомогою вентилів B_{10} , B_{11} здійснюють запуск тригера I. Тригер 2 запускається перепадами напруги тригера I. У результаті формуються чотири напруги, що надходять на схему збігу. При надходженні на обидва входи схеми збігу позитивної напруги на II виході формується сигнал, що відкриває ключову схему Y_1 і пропускає сигнал 6,3 В до блока ОЗ для формування частоти $F_{и1}$. При огляді на наступному рядку відкривається Y_2 та у блокі ОЗ формується $F_{и2}$ і т.п.

У момент переходу променя з нижнього рядка на верхній формується команда "Край зони" (КЗ), за якою запираються вентилі B_{10} , B_{11} . І до блока ОЗ не надійде команда на переключення частот повторення і т.п.

При натиску кнопки "Захват" спрацьовує АЗ-І, знімається заборона з АЗ-ІІ, РЛС переходить у режим додаткових пошуків (як у ВСВ), запираються B_{10} , B_{11} , тобто вимикається схема формування керуючих напруг. Після АЗ-ІІ РЛС переходить на автосуправоводкування цілі за кутами і дается команда на захоплення цілі здалекості (знімається заборона з АЗ-ІІІ).

2.5. Робота каналу керування антенами при судноволенні цілі в режимі малих висот

Суміш сигналів цілі та фону Землі після підсилення в лінійних приймачах 1, 2 надходить на схему виділення різницевих сигналів азимута та нахилу (блок 2I), яка складається з двох ідентичних каналів СРЦ (селекція рухомих цілей) та обчислювального приставки.

Вхідним елементом кожного каналу є підсилювач, що стробується. Як імпульс строба служить імпульс далекоміра. Далі імпульсний сигнал подається на фазовий детектор частот, який

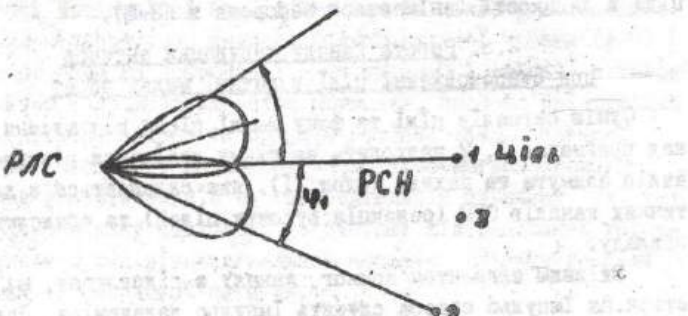
здійснення виділення сигналу f_d та перенесення його до області проміжної частоти. З виходу фазового детектора частот безперервний сигнал f_d із сумарною амплітудою для першого каналу та різницевою для другого надходить на вхід логарифмічного підсилювача.

Детектори 1, 2 виділяють обгинальну посилені сигнали. На виході обчислювального приладу буде сума нормованих за амплітудою сигналів азимута та нахилу. Вона аналогічна сигналу на вихід приладу " - " блока I9 у режимі ВСВ. Тому цей сигнал подається на вхід виділення сигналу помилки замість сигналу з блока I9.

2.6. Понад побудови схеми захисту від неспрятливої перехопки

При супроводженні цілі в РЛС використовується багатоімпульсний метод пеленгації.

Для таких систем ефективно є перешкода, створена з двох точок під кутом $\varphi < \theta_{0.5}$ (рис. 2.2). Якщо передавачі 1, 2 працюють по чергово з частотою перемикання, меншою за граничну частоту смуги пропускання системи автосупроводжування, та антена система переходить із супроводжування точки 1 на супроводжування точки 2, тобто буде розгойдуватись. Це характеризується стрибкоподібною зміною сигналу. Захист полягає у відключені виходу блока 29 від входу блока 21. Схема складається в РВ-1, РВ-2 та переговорного приладу. Схема вмикається за командою АЗ-П. При цьому на підсилювач низьких частот переговорного приладу надходить сигнал помилки з вихіду блока 19. Напруга 27 В подається на РВ-1.



Через одну секунду на виході РВ-І формується АЗ-П+1С: замикаються контакти I,2 РВ-І, у навантаження підсилювача-обескувача вмикается Р4.

За наявності перешкоди (з виходу індикатора перешкод) напруга +27 В через контакти I,2 РВ-І, I,2 РВ-2 надходить на Р5, підключаччи контактами I, 2 вентиль В₁, до входу схеми виділення сигналу помилки. Якщо шумова перешкода утвориться, на кут $\varphi < \theta_{0,5}$ то стриском збільшується амплітуда сигналу на виході компенсатора перешкод (блок I9). Якщо напруга перевищити 6,3 В, то порогове вимірювання сформує сигнал, який відкриє вентиль В₁, що дозволить вхід схеми відокремлення сигналу помилки.

При тривалості сигналу з однієї точки більше двох секунд схему захисту потрібно вимикати. Спрацьовує РВ-2 і своїми контактами розриває ланцюг з напругою 27 В на Р5. Це має місце на частоті погемічання менше 0,25 Гц. Відбувається згладження дзерела перешкоди.

3. РОБОТА ДАЛЕКОМІРНОГО КАНАЛУ ПРИЦІЛЬНОЇ РАДІОЛОКАЦІЙНОЇ СТАНЦІЇ

3.1. Позначення, склад та основні характеристики далекомірного каналу прицільної радіолокаційної станції

Далекомірний канал забезпечує пошук та автосупроводування цілі за далекістю у зоні, встановлені вручну льотчиком, або за целеуказівкою із Землі, та видачу даних в АОМ про далекість до цілі та швидкість зближення V_{35} з ней.

До складу далекомірного каналу РЛС входять:

- великий далекомір (ВД);
- схема пошуку;
- малій далекомір (МД);
- селектор сигналів рухомої цілі;
- аналізатор перешкод;
- автомат захоплення (АЗ-Ш).

Основні характеристики:

	ВД	МД
діапазон пошуку за далекістю	0,6...40 км	0,3...3 км
зона пошуку цілей	9 км	4,5 км
швидкість пошуку	15 км/с	15 км/с

помилка змірювання далекості 150 м 23 м (0,3...1,5 км)
 30 м (1,5...2 км)
 40 м (2...3 км).

Далекомірний пристрій виробляє такі сигнали:

- імпульси зони пошукудалекоміра;
- імпульси стробівування здалекості;
- АЗ-ІІІ;
- АЗ-Ш-2С;
- АЗ-ІV;
- U_A , U_{60} ;
- U_{MD} .

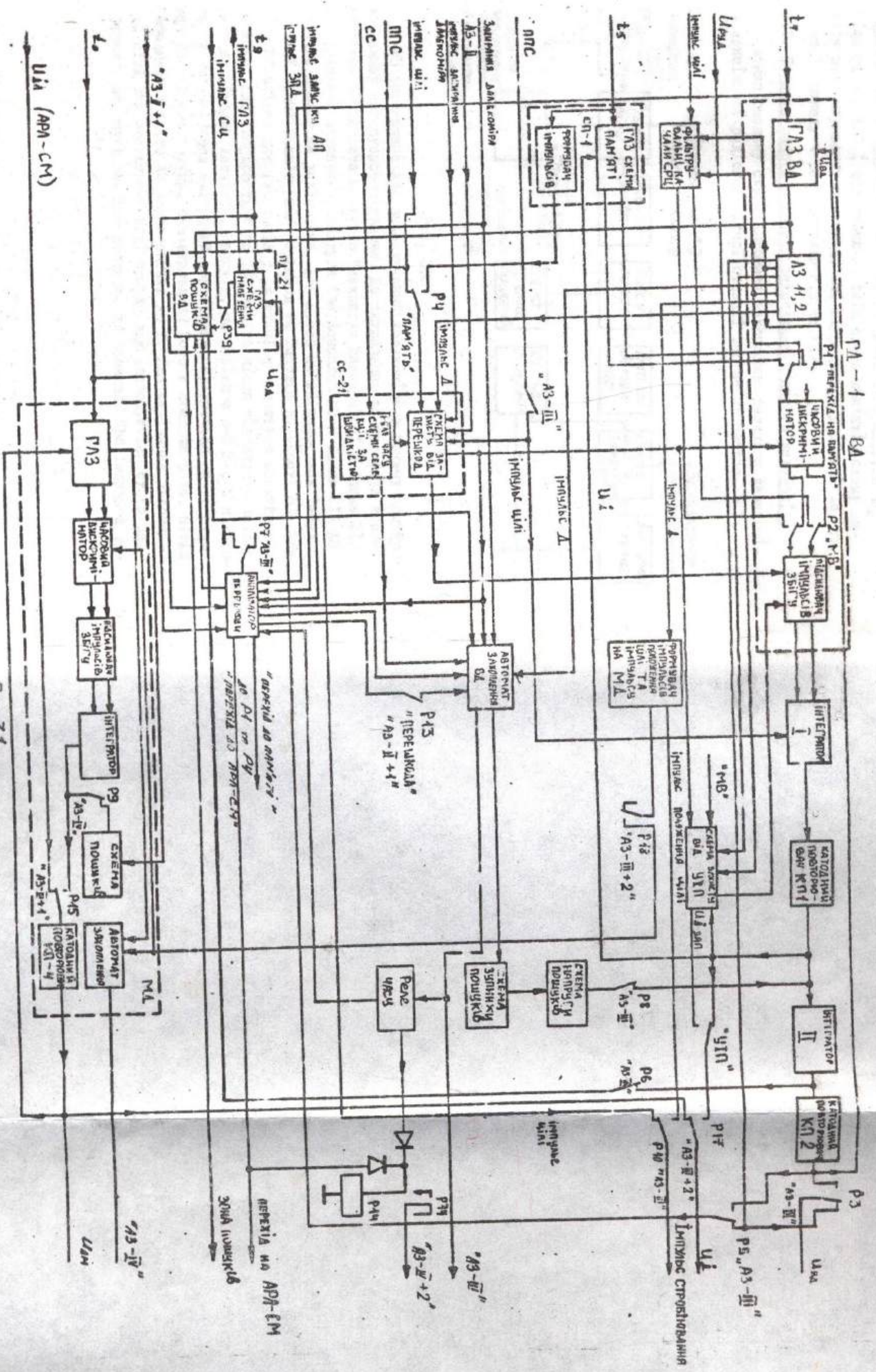
3.2. Принцип роботи великого далекоміра псигнальної пелюлокайної станції

Функціональну схему далекомірного пристроя зображенено на рис. 3.1.

Розглянемо режим автосупроводування цілі. Запускаючий імпульс t_1 з блока ОЗ надходить на генератор лінійної затримки (ГЛЗ) ВД. ГЛЗ виробляє імпульс далекості, тимчасовий стан якого залежить від величини керуючої напруги U_{60} , що подається з виходу катодного повторювача (КП) 2. Імпульс далекості надходить на лінію затримки, з відводів якої з'являється "напівстроба далекості", що через контакти Р1 надходять на перші входи схем збігу тимчасового дискримінатора ВД. На другі входи схем збігу подається імпульс цілі, який пройшов схему захисту від перешкод.

Як результат порівняння тимчасового стану слідуючих імпульсів та імпульсу цілі на виході тимчасового дискримінатора з'являється імпульси збігу, які через контакти Р2, інтегруючі ланцюги I, 2 та ВУ I, 2 надходять на вхід схеми інтегратора I. З виходу інтегратора I через КП сигнал надходить на вхід інтегратора II, на виході якого утвориться напруга U_{60} , пропорційна далекості до цілі. Вона надходить до інших блоків через контакти Р3 та ГЛЗ.

Зміна положення імпульсу цілі викликатиме зміну тривалості імпульсів збігу на виходах тимчасового дискримінатора, що призводить до зміни величини керуючої напруги U_{60} та переміщення напівстробів далекості в бік переміщення цілі, тобто адіастиви-



PUC. 3.1

таметься автосупроводжування цілі за далекістю. Напруга U_d з'ємпається з КПІ і подається на вхід схеми пам'яті, схему захисту від імпульсних перешкод, які відводяться у режимі МВ, та на вихід каналу через контакти РІ9 та РІ7.

3.3. Принцип роботи автомата захоплення великого далекоміра

Функціональну схему автомата захоплення великого далекоміра прицільної радіолокаційної станції зображенено на рис. 3.2.

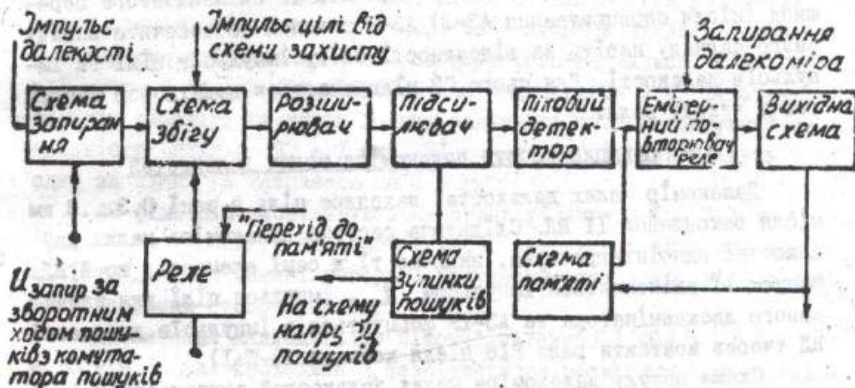


Рис. 3.2

АЗ призначено для переключення далекоміра з режиму пошуку до режиму автосупроводжування. До захоплення за кутовими координатами АЗ закрито напругою "закриття далекоміра" з блока 21. Після зняття зазначененої напруги (за командою АЗ-П блока 21) АЗ одержує дозвіл на захоплення. Для цього на АЗ подається імпульс цілі зі схеми захисту від перешкод та імпульс далекості ВД. При 15...20 згідах цих імпульсів у їх схемі з'являється негативний імпульс, який полягається до ІОС мкс та після підсилення надходить на піковий детектор. Напруга, що дорівнює 8-9 В, з пікового детектора через емітерний повторювач передається на підсилювач постійного струму; навантаженням його є обмотка реле, після спрацювання якого АЗ видає сигнал АЗ-Ш. Для видушення захопленої цілі при зворотному ході пошуку використовується схема заликання, на яку подається напруга, що замикає. щоб імпульси да-

дальності не "проскочили" імпульс цілі, під час пошуку імпульс збігу надходить на схему зупинки схеми пошуку, який видає сигнал на схему напруги пошуку, і генерація напруги цією схемою припиняється.

При короткочасному зникненні імпульсів цілі передбачено схему пам'яті АЗ. Після захоплення цілі вона забезпечує підключення додаткового конденсатора (50 мкФ) до виходу пікового детектора. За наявності команди "Перехід на пам'ять" із сигналізатора перешкод (після спрацювання АЗ-Ш) АЗ-Ш повинен забезпечити видачу свого сигналу навіть за відсутності збігу імпульсів цілі та імпульсів дальності. Для цього СЗ відкривається додатковою напругою з виходу реле.

3.4. Принцип роботи далекоміра малих дальностей

Далекомір малих дальностей захоплює ціль в зоні 0,3...3 км після захоплення ІІ ВД. Слідкуча система далекоміра малих дальностей одноінтеграторна, включає ті ж самі елементи, що й ВД. Запуск ІІ здійснюється імпульсом t_0 . Імпульси цілі для тимчасового дискримінатора та АЗ-ІУ формуються з імпульсів дальності ВД (через контакти реле Р18 після команди АЗ-Ш+І).

Схема пошуку далекоміра малих дальностей запускається імпульсом t_0 , що надходить на компаратор початку і кінця діапазону пошуку, де напруга з далекоміра малих дальностей порівнюється з постійними напругами, що відповідають початку та кінцю діапазону пошуків, що приводить до зменшення або збільшення напруги далекоміра малих дальностей.

Закінчення пошуку здійснюється за допомогою реле Р9, яке спрацьовує за командою АЗ-ІУ, що формується на виході АЗ МД за збігом імпульсів дальності з ВД та з ГЛЗ МД.

До команди АЗ-Ш+І напруга далекоміра малих дальностей надходить на схему пошуку від АРЛ-СМ через КП4. Після команди АЗ-Ш+І напруга далекоміра малих дальностей подається з виходу інтегратора через КП4. Зменшення або збільшення напруги далекоміра малих дальностей в схемі пошуку забезпечує переміщення імпульсу дальності на виході ГЛЗ МД.

4. РОБОТА СИСТЕМИ СЕЛЕКЦІЇ РУХОМІХ ЦІЛІЙ ПРИЦІЛЬНОЇ РАДІОСТОКАЦІЙНОЇ СТАНЦІЇ

4.1. Робота системи селекції рухомих цілей на етапі допущів цілі

Функціональну схему системи селекції рухомих цілей (СРЦ) зображенено на рис. 4.1.

На виході амплітудного детектора I виділяється результат биття сигналу цілі та фону Землі. Цей сигнал надходить через суматор кизької частоти (СНЧ) на вхід багатоканальної фільтрової системи (блоки 49A, В, 59), яка складається з 49 фільтрувальних каналів, на кожен з яких подається свій селектуючий за далекістю імпульс $T_1 = 1 \text{ мкс}$. Ці селектуючі імпульси йдуть один за одним із затримкою на 1 мкс.

49 фільтрів забезпечують перегляд ділянки $D = 7,5 \text{ км}$ ($0\dots20 \text{ км}$). Каскад, що стробіється, перетускає лише сигнали цілі та ділянки земної поверхні, вилучений яких з РЛС відповідає часу затримки строб-імпульсу.

Ці сигнали надходять на піковий детектор і фіЧ з $\Delta f = 10 \text{ кГц}$. Після проходження фазоінвертора практично синусоїдальна напруга з частотою обгнанальної відсесімпульсів строб каскаду за наявності сигналу цілі подається на балансний модулятор, де здійснюється модуляція гармонічної напруги частотою 300 Гц, яка формується допоміжним генератором КГ-300.

У модуляторі несуча частота подавляється на 25...30 дБ, а в резекторному фільтрі - на 30...40 дБ. Навантаженням каскодного підсилювача є основний фільтрувальний елемент - електромеханічний фільтр, смуга пропускання якого дорівнює 1,66 кГц, а частота настроювання - 301,745 кГц. Виділені сигнали частоти Доплера підсилюються в підсилювачі проміжної частоти (ПЧ) і детектуються. Амплітуда U пропорційна амплітуді сигналу Доплера. Напруга надходить на вихідний каскад, що стробіється, і на вхід схеми автоматичного регулювання підсилювання (АРП). АРП працює за проникнім сигналом фону Землі, не реагує на сигнал цілі та забезпечує постійність рівня фону Землі на виході блока 49.

На вихідний каскад, що стробіється, подається ті ж самі селектуючі імпульси, що й на вихідний.

Вихідний каскад формує відеоімпульси з постійною напругою на виходах детекторів, що визначають далекість до цілі.

Відеоімпульс цілі надходить через блок 05 в канал індикації та в канал СРЦ блоків 21, 06.

4.2. Робота системи селекції пухомих цілей на етапі супроводування цілі

Систему СРЦ у цьому режимі передбачено для одної за далекістю цілі, що супроводжується. Це однакові за схемним рішенням вузли. На вихідні селектори за далекістю подаються слідуючі імпульси з генератора далекості I (ГД) і з виходу суматора блока 29 (складання сигналу цілі+перешкода).

При збігу цих сигналів на виході каскадів, що стробуються, формуються імпульси збігу, тривалість яких визначається мірою перекриття слідуючими імпульсами імпульсу цілі.

Робота каналів аналогічна роботі блока 49. На виході детектора створюється постійна напруга, амплітуда якої пропорційна мірі перекриття слідуючими імпульсами імпульсу цілі. За відсутності збігів напруга дорівнює нулю.

Напруга з виходів кожного з двох детекторів фільтрувальних каналів перетворюється в імпульси постійної амплітуди, тривалість яких дорівнює напрузі детектора, за схемою ШІМ. Запуск керуючого тригера здійснюється первім слідуючим імпульсом. Фронтом імпульсу керуючого тригера запускається вихідні тригери і генератор пілколоводіної напруги (ГПН), напруга якого надходить на схему порівняння. Перевертяється вихідні тригери імпульсом з виходу схеми порівняння (в момент, коли $U_{\text{ГПН}} = U_{\text{Бем}}$). Інформація про неугодженість за далекістю укладено в різниці тривалостей імпульсів на виході схеми ШІМ (як і в БСВ).

На виході ГД-І ВД виникає сигнал помилки, що приведе до зміни U_d , а тому й до зміни положення слідуючими імпульсами.

При знаходженні цілі точно між слідуючими імпульсами тривалості імпульсів на виході ШІМ однакові.

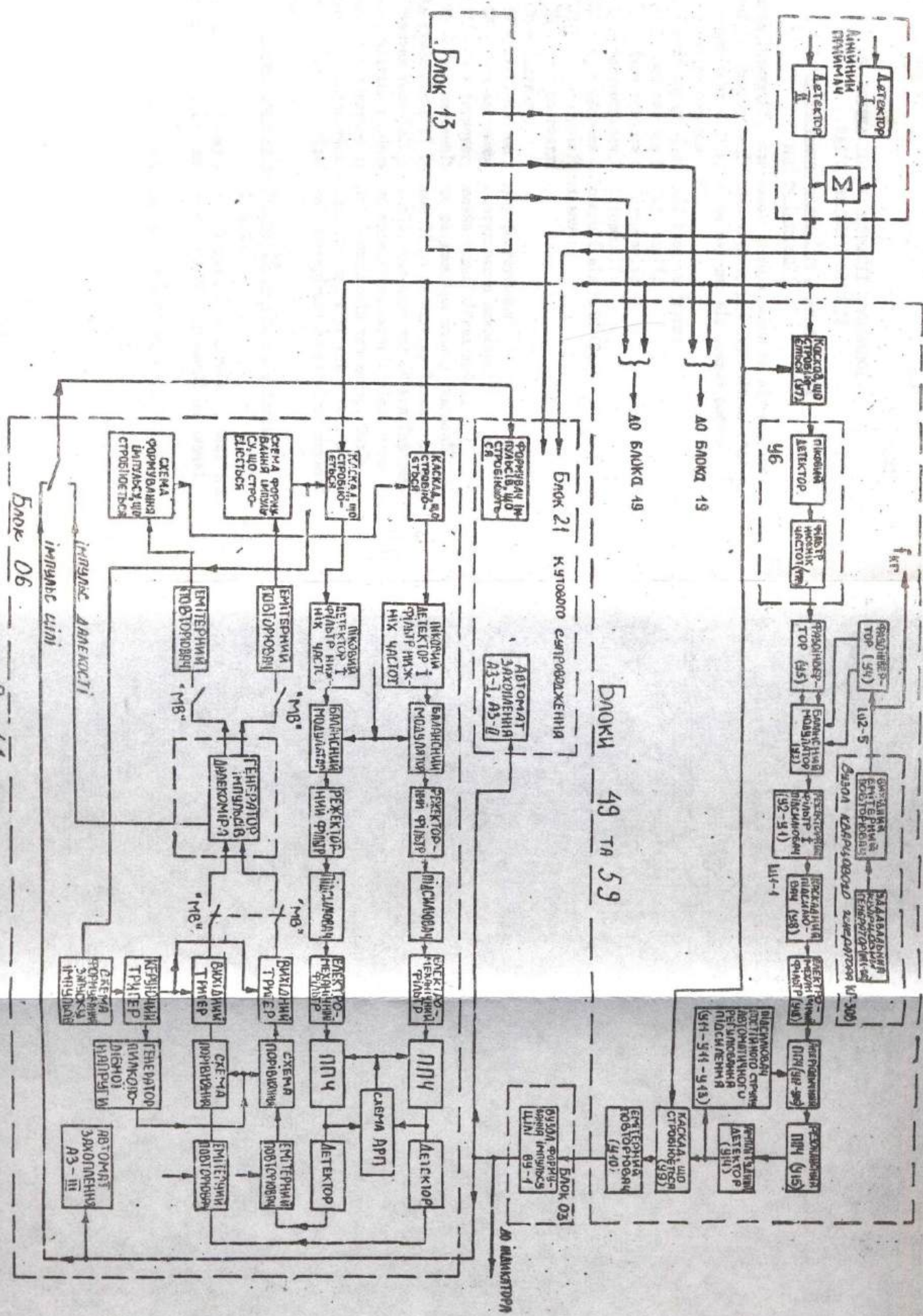


Рис. 4.1

5. РОБОТА КАНАЛУ ІНДИКАЦІЇ ПРИЦІЛЬНОЇ РАДІОЛОКАЦІЙНОЇ СТАНЦІЇ

5.1. Призначення, склад і принцип поєднання каналу індикації.

Канал індикації призначено для формування та відтворення на екрані СЕІ командно-пілотажних (КП), радіолокаційних (РЛ) та теплопеленгаційних (ТП) відміток залежно від режиму роботи комплексу радіокерування (РК).

До складу каналу індикації входять блоки:

- 45 - блок обробки КП інформації;
- 35 - блок обробки РЛ інформації;
- II - блок обробки ТП інформації;
- 23 - блок обробки інформації від РСН-6С;
- 25 - блок телевізійних камер;
- 15 - блок рефлексії;
- 05 - індикатор;
- 57 - стабілізатор струму фокусування;
- 65 - блок автономного регулювання яскравості;
- 67 - блок терморегулювання телевізійних камер;
- 75 - блок дистанційного регулювання каналу індикації.

Для суміщення цієї інформації на загальному індикаторі використовується телевізійний засіб, для чого кожний вид інформації відображається спочатку на своєму індикаторі, після чого зображення проектується на мішенні видиковів телекамер. Потім ці зображення складаються в одне, що проектується в нескінченності за лінією зору пілота та спостерігається на відобразувачі АСП-23-Д.

5.2. Прилад обробки та індикації командно-пілотажної інформації

Функціональну схему каналу індикації зображенено на рис. 5.1.

Прилад призначено для формування КП інформації на екрані СЕІ.

До складу приладу обробки та індикації входять:

- блок 45;
- блок 28;

- Індикатор Л4;
- блок 25.

Причіп побудови пристроя: КП інформація від датчиків надходить на перетворювачі вхідних сигналів, що служать для узгодження електронного комутатора з датчиками КП сигналів.

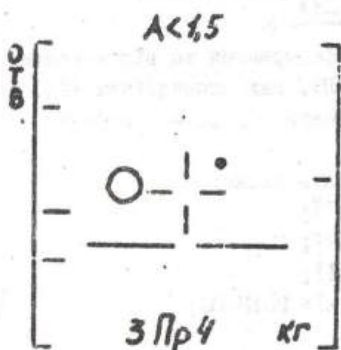


Рис. 5.2

Іdealnoї напруги.

Управління селекторами електронного комутатора здійснюється із синхронізатора. Для висвітлення КП шток використовуються імпульси позитивної полярності схеми блокування.

5.3. Прилад обробки та індикації дальнічної інформації

Прилад призначено для формування РЛ інформації на екрані індикатора.

До його складу входять блоки:

- 35 - блок обробки РЛ інформації;
- 25 - індикатор Л5.

Запуск пристроя формування струмів розгортки здійснюється імпульсами t_0 , що надходять з блока 03 на ГН, який формує імпульси пілкноподібної форми з тривалістю, що відповідає шкалам далекості: 240, 120, 60, 30 км.

У режимі огляду на екрані сеі формується розгортка "далекість - азимут". Напруга ГН подається на підсилювач Y , а на підсилювач X надходить напруга, пропорційна азимуту антени φ_r . У режимі супроводжування формується тільки розгортка за

У перетворювачах ці сигнали перетворюються в постійні напруги, що надходять на електронний комутатор, який являє собою сукупність селекторів. Комплект від вхідних сигналів надходить на свій селектор. Далі сигнали перетворюються в розгортуючі струми для системи, що відхиляє кінескоп Л4 блока 25. КП мітки формується на екрані Л4 у вигляді різноманітних індексів (рис. 5.2).

Для формування розгортуючих напруг слугує генератор синусо-

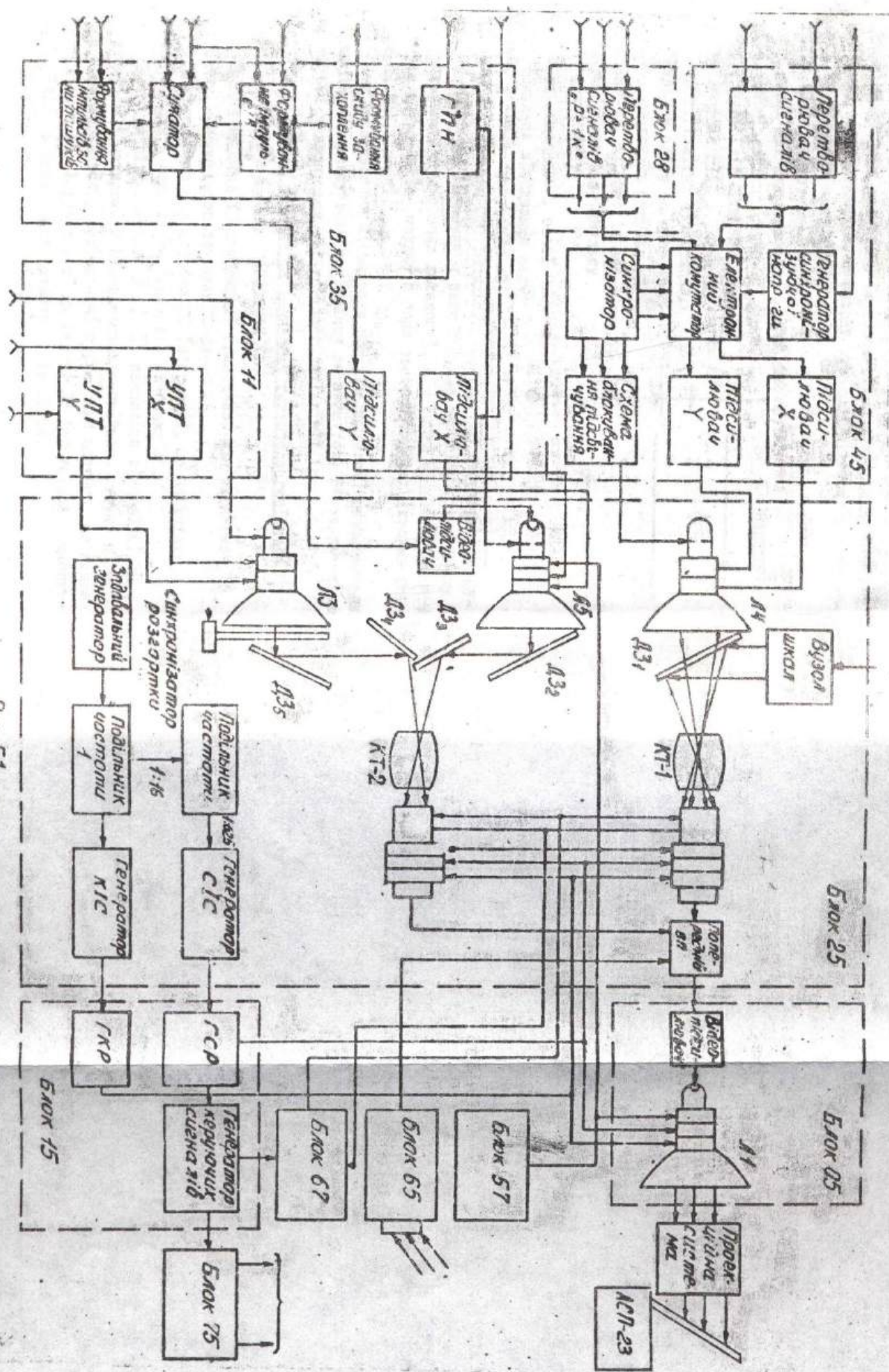


FIG. 5.1

далекістю. Імпульси цілі з блоків 03, 19 подаються на суматор блока 35. Сили ж надходять імпульси міток пізнавання та міток зони пошуку із далекоміра. З виходу суматора відеосигнали надходять на кінцевий відеопідсилувач (ВП) індикатора і далі

- на катод Л5. Для формування міток пізнавання надходять імпульс від СРЗО лінійної апаратури та імпульс цілі з блока 03 для селекції мітки пізнавання. При іншому збігу за часом на суматор надходить імпульс пізнавання $\tau = 5 \text{ мкс}$ із затримкою 16 мкс від імпульсу цілі (рис. 5.3).

При захопленні своєї цілі імпульси пізнавання надходять в схему блокування АЗ.

Після накопичування 200 імпульсів ($0,2 \text{ с}$) РЛС переходить у режим пошуку і. Для формування зони пошуку із далекості з блока 06 надходять імпульси зони далекості, а з блока 01 - імпульси зони азимута (Ψ_1). Із імпульсів зони засобом диференціювання формуються два короткі імпульси.

Час засвічування міток зони пошуку із далекості визначається тривалістю імпульсу зони захоплення за азимутом. В результаті на екрані ОЕІ з'являються дві горизонтальні лінії (рис. 5.3).

5.4. Прилад обробки та індикації теплогенераційної

інформації

Прилад обробки ТП інформації призначено для спрямлення ТП з електрошариковою трубкою ЛЗ блока 25.

До складу приладу обробки ТП інформації, що надходить з ТП-23Е, входять блок II та індикатор ЛЗ блока 25.

На входи підсилювачів X і Y подаються відповідні ТП за азимутом і нахилом. У підсилювачах постійного струму ці сигнали перетворюються у розгортаючі струми для системи, що підхиляє кінескоп ЛЗ. У результаті на екрані ЛЗ формується прямокутний ТП РАСТР в координатах азимут - кут місця.

240, 120, 60, 30

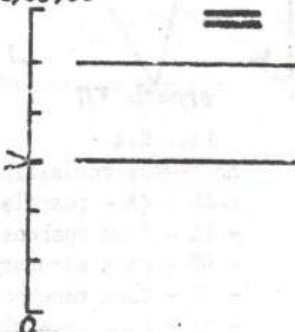


Рис. 5.3

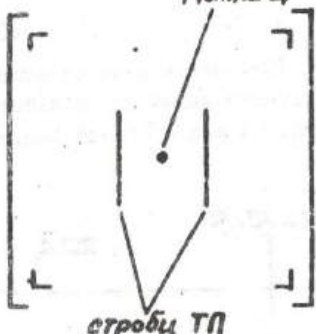
Мітка 4

Рис. 5.4

До складу телевізійної схеми входять блоки:

- 25 - блок телевізійних камер;
- 15 - блок розгортки;
- 65 - блок автоматичного регулювання яскравості;
- 57 - блок терморегулювання;
- 57 - блок стабілізації струму фокусування;
- 75 - блок дистанційного регулювання.

Світлові зображення на Л4 проектируються на відповідні ділянки мішенні відикона за допомогою напівпрозорого дзеркала та об'єктива ОІ, установленого в телекамеру КТ-І. Світлове зображення записується на мішенні відикона у вигляді потенційального рельєфу.

Для нормальної роботи мішенні блок 67 підтримує постійність робочої температури ($t = 25 \dots 30^\circ$). Зчитування потенційального рельєфу з мішенні здійснюється електричним променем відикона, розгортка - блоком 15, фокусування променів - блоком 57.

Сигнал зчитування після попереднього підсилення в телевізійній камері надходить у проміжний ВП блока 25. Світлове зображення РЛ і ТП інформації за допомогою дзеркал 2-5, об'єктива О₂ проектирується на відповідні ділянки мішенні КТ-2 і далі - на попередній ВП, з якого єдиний телевізійний сигнал подається на ВП телевізійного індикатора (блок 05) і далі - на модулятор кінескопа ЛІ. Яскравість зображення на телевізійному індикаторі регулюється блоком 65. Зображення з екрана, за допомогою оптичної системи проектирується в нескінченість і спостерігається

відеосімпульсі цілі з ТП-2ЗЕ надходять транзитом через блок II безпосередньо на модулятор трубки ЛІ. Вигляд ТП інформації зображені на рис. 5.4.

5.5. Принцип побудови схеми перетворення та індикації

Телевізійну схему призначено для оптико-електронного перетворення КП, РЛ і ТП світлової інформації в єдиний TV-сигнал та його відображення на загальному індикаторі.

на відбитому склі АСН-2ЗД.

Для регулювання розмірів растрів розгортки видиконів КТ-1, КТ-2 і телевізійного індикатора та їх центрування використовується блок дистанційного настроювання (блок 75).

СПИСОК ВИКОРИСТАНОЇ ТА РЕКОМЕНДОВАНОЇ ЛІТЕРАТУРИ

1. Радиоэлектронное оборудование летательных аппаратов : В 2 ч./Под ред. В.И. Щербоградова. М., 1976. Ч. 2.

2. Радиоэлектронное оборудование прицельной системы С-23-Д-Ш / Под ред. М.В. Максимова. М., 1975.

Зміст

I. ПРИНЦІП ПОБУДОВИ БЛОКА СИНХРОНІЗАТОРА ПРИЦІЛЬНОЇ РАДІОЛОКАЦІЙНОЇ СТАНЦІЇ	3
I.1. Призначення та склад блока синхронізатора	3
I.2. Принцип формування імпульсів блока синхронізатора	3
I.3. Захист від синхронних і несинхронних імпульсних перешкод	5
2. РОБОТА КАНАЛУ КЕРУВАННЯ АНТЕНОЮ В РІЗНИХ РЕЖИМАХ	8
2.1. Призначення, склад та основні характеристики каналу керування антеною	8
2.2. Робота каналу керування антеною при пошуках цілі в режимі великих і середніх висот	9
2.3. Робота каналу керування антеною при супроводженні цілі в режимі великих і середніх висот	12
2.4. Робота каналу керування антеною при пошуках цілі в режимі малих висот	13
2.5. Робота каналу керування антеною при супроводженні цілі в режимі малих висот	13
2.6. Принцип побудови схеми захисту від мерехтливої перешкоди	14
3. РОБОТА ДАЛЕКОМІРНОГО КАНАЛУ ПРИЦІЛЬНОЇ РАДІОЛОКАЦІЙНОЇ СТАНЦІЇ	15
3.1. Призначення, склад та основні характеристики далекомірного каналу прицільної радіолокаційної станції	15
3.2. Принцип роботи великого далекоміра прицільної радіолокаційної станції	16
3.3. Принцип роботи автомата захоплення великого далекоміра	17
3.4. Принцип роботи далекоміра малих далекостей	18
4. РОБОТА СИСТЕМИ СЕЛЕКЦІЇ РУХОМІХ ЦІЛЕЙ ПРИЦІЛЬНОЇ РАДІОЛОКАЦІЙНОЇ СТАНЦІЇ	19
4.1. Робота системи селекції рухомих цілей на етапі пошукуві цілі	19
4.2. Робота системи селекції рухомих цілей на етапі супроводжування цілі	20

5. РОВОТА КАНАЛУ ІНДИКАЦІЇ ПРИЦІЛЬНОЇ РАДІОЛОКАЦІЙНОЇ СТАНЦІЇ.	21
5.1. Призначення, склад і принцип побудови каналу Індикації.	21
5.2. Принцип обробки та Індикації командно-пілотажної Інформації.	21
5.3. Принцип обробки та Індикації радіолокаційної Інформації.	22
5.4. Принцип обробки та Індикації теплопеленгаційної Інформації.	23
5.5. Принцип добудови схеми перетворення та Індикації.	24
СПИСОК ВИКОРИСТАНОЇ ТА РЕКОМЕНДОВАНОЇ ЛІТЕРАТУРИ.	25

Костянтин Володимирович Скульський
Ігор Володимирович Луцько

РОБОТА ПРИЦІЛЬНОЇ РАДІОЛОКАЦІЙНОЇ СТАНЦІЇ
В РІЗНИХ РЕЖИМАХ

Редактори: Н.М. Сигульська,
Л.О. Кузьменко

Зв. план, 1998

Підписано до друку 03.09.98

Формат 60x84 I/16. Папір офс. № 2, Офс. друк.

Умовн.-друк. арк. 2. Облік.-вид. арк. 2,25. Т. 50 прим.

Замовлення 160. Ціна вільна

Державний аерокосмічний університет ім. М.С. Євковського
"Харківський авіаційний інститут"

310070, Харків-70, вул. Чкалова, 17

Ротапринт друкарні "ХАІ"
310070, Харків-70, вул. Чкалова, 17